

ОПРЕДЕЛЕНИЕ ПАРАМЕТРОВ ЭКВИВАЛЕНТНЫХ СХЕМ ЗАМЕЩЕНИЯ ТУРБОГЕНЕРАТОРОВ ДЛЯ РАСЧЕТОВ НА МАТЕМАТИЧЕСКИХ МОДЕЛЯХ

Сивокобыленко В.Ф., Меженкова М.А.

Донецкий государственный технический университет

svf@elf.dgtu.donetsk.ua

The methods of receiving the equivalent schemes parameters of modern turbogenerators having limited number (2-3) of equivalent rotor circuits according to initial frequency response is expounded. The equivalent schemes parameters of turbogenerators 100-800 megawatt used at present time in power systems are shown. This parameters may be used for mathematical modelling of stationary and transitional operations.

Одной из важных задач, возникающих при моделировании режимов работы синхронных и асинхронных машин, является определение активных и индуктивных сопротивлений обмоток статора и эквивалентных контуров ротора. Параметры должны отражать явления вытеснения тока в активных материалах машины и влияние насыщения ее магнитных цепей. В качестве исходных данных для определения указанных параметров можно использовать кривые затухания постоянного тока в обмотке статора или частотные характеристики входных проводимостей [1]. Для турбогенераторов мощностью 100-800 МВт, применяемых в электрических системах, сведения об их параметрах в виде сопротивлений множества контуров ротора приведены в работах [1-3]. Однако, использование при моделировании сведений о параметрах в указанном виде затруднительно, что связано со следующим.

В результате обработки экспериментальных кривых затухания постоянного тока в обмотке статора получают параметры многоконтурных схем замещения ротора в оси d и q [4]. Использование большого количества контуров при моделировании ведет к усложнению и увеличению времени расчетов. С другой стороны, в работе [5] показано, что двухконтурная схема замещения ротора вполне обоснованно может приниматься в расчетах устойчивости, асинхронных режимов, коротких замыканий и других переходных режимов, поскольку частотная характеристика, соответствующая двум контурам незначительно отличается от экспериментальной в большом диапазоне скольжений.

В настоящей работе ставилась задача получить параметры, удобные для использования при математическом моделировании, для наиболее широко применяемых в настоящее время на электростанциях турбогенераторов.

Для решения этой задачи применен основанный на [5] способ определения параметров схем замещения турбогенераторов электрических станций (ЭС) из частотных характеристик или многоконтурных схем замещения, отличающийся тем, что заданная информация методом минимизации ошибок отклонения преобразуется в наиболее простую схему замещения, содержащую, кроме обмотки возбуждения по оси d, только две (три) короткозамкнутые демпферные обмотки по каждой из осей d и q.

Для оценки правильности полученных данных проводилось сравнение частотных характеристик, построенных по исходным и рассчитанным параметрам.

Ниже приведена методика расчета параметров схем замещения турбогенераторов с двумя эквивалентными контурами ротора по каждой из осей d и q без учета обмотки возбуждения. Исходной информацией послужили параметры многоконтурных (количество контуров $k=2-8$) схем замещения генераторов, приведенные в следующих литературных источниках: ТВ2-100, ТВВ-320, ТВВ-500 - [1], ТГВ-200 - [2], ТГВ-300 - [1], ТВВ-800 - [3].

Роторную цепь машины по одной из осей d или q представим схемой замещения, состоящей из двух параллельных цепей. Тогда дискретные значения роторных проводимостей для диапазона скольжений S от 0 до 100 можно представить найдем как:

$$G(s) = \sum_{i=1}^2 \frac{Rr(i)}{\left(\frac{Rr(i)}{s}\right)^2 + X(i)^2}, \quad B(s) = \sum_{i=1}^2 \frac{X(i)}{\left(\frac{Rr(i)}{s}\right)^2 + X(i)^2}, \quad (1)$$

где $Rr(i)$, $X(i)$ - активное и индуктивное сопротивления i -го роторного контура двухконтурной схемы замещения.

Проводимости, определяемые по заданным значениям параметров многоконтурных схем замещения найдем как:

$$g(s) = \sum_{i=1}^k \frac{r(i)/s}{\left(r(i)/s\right)^2 + x(i)^2}, \quad b(s) = \sum_{i=1}^k \frac{x(i)}{\left(r(i)/s\right)^2 + x(i)^2}, \quad (2)$$

где $r(i)$, $x(i)$ - активное и индуктивное сопротивления i -го роторного контура многоконтурной схемы замещения; k - количество заданных контуров ротора.

Воспользовавшись известными значениями проводимостей $g(s)$ и $b(s)$ для скольжений s_j , $j=1,2,\dots,n$, и, используя (1), составляем переопределенную систему нелинейных алгебраических уравнений, порядок которой равен $2n$, а число неизвестных - 4:

$$\begin{aligned} \sum_{i=1}^2 \frac{Rr(i)/s_1}{\left(Rr(i)/s_1\right)^2 + X(i)^2} - g(s_1) &= 0; \\ \sum_{i=1}^2 \frac{Rr(i)/s_n}{\left(Rr(i)/s_n\right)^2 + X(i)^2} - g(s_n) &= 0; \\ \sum_{i=1}^2 \frac{X(i)}{\left(Rr(i)/s_1\right)^2 + X(i)^2} - b(s_1) &= 0; \\ \sum_{i=1}^2 \frac{X(i)}{\left(Rr(i)/s_n\right)^2 + X(i)^2} - b(s_n) &= 0. \end{aligned} \quad (3)$$

Система (3) решается одним из методов минимизации, например, методом Левенберга-Маркардта, имеющимся в пакете Mathcad; из нее определяются искомые активные и индуктивные сопротивления двухконтурной схемы замещения ротора.

Ниже в табл. 1 приведены параметры, полученные для турбогенераторов мощностью 100, 200, 300, 320, 500, 800 МВт: активные сопротивления и индуктивности рассеяния обмотки статора - R_s , $X_{\sigma s}$; демпферных контуров ротора - $R_{rd}(1)$, $R_{rd}(2)$, $R_{rq}(1)$, $R_{rq}(2)$, $X_{rd}(1)$, $X_{rd}(2)$, $X_{rq}(1)$, $X_{rq}(2)$; обмотки возбуждения - R_f , $X_{\sigma f}$.

Таблица 1 - Параметры турбогенераторов (о.е.)

Тип	S_h , МВА	U_h , кВ	$\cos \phi_h$	I_h , кА	R_s	$X_{\sigma s}$	X_{ad}	X_{aq}
TB 2-100	117.5	13.8	0.85	4.955	.000902	.113	1.687	1.607
TГВ-200	235.3	15.75	0.85	8.625	.0011	.124	1.716	1.661
TГВ-300	353	20	0.85	10.2	.002	.17	2.02	1.955
TBB-320	375	20	0.85	10.9	.00126	.148	1.691	1.546
TBB-500	588	20	0.85	17	.001797	.242	2.318	2.207
TBB-800	888.9	24	0.9	21.4	.00165	.224	2.309	2.283

Тип	$R_{rd}(1)$	$R_{rd}(2)$	$X_{rd}(1)$	$X_{rd}(2)$	$R_{rq}(1)$	$R_{rq}(2)$	$X_{rq}(1)$	$X_{rq}(2)$	R_f	$X_{\sigma f}$
TB2-100	.007361	.057	.184	.091	.038	.154	.13	.042	.000582	.14
TГВ-200	.031	.079	.445	.036	.01202	.0917	.2035	.05483	.000845	.19
TГВ-300	0.013	.205	.146	.207	.012	.095	.208	.05	.00145	.326
TBB-320	.00786	.031	.5	.089	.012	.086	.413	.203	.001167	.174
TBB-500	.014	.195	.202	.182	.02	.16	.402	.187	.00107	.773
TBB-800	.00241	.081	.122	.05	.033	.18	.266	.064	.000972	1.172

Ниже, в качестве примера, на рис.1 приводятся частотные характеристики $b(s)$, $g(s)$ ротора генератора ТВВ-800 по осям d и q , построенные по исходным параметрам (заданным в [4] значениям сопротивлений четырех контуров по оси d и шести контуров по оси q) и характеристики $B(s)$, $G(s)$, построенные по полученным из решения системы уравнений (3) параметрам двух эквивалентных контуров. На рис.2 приводятся соответствующие входные частотные характеристики генератора ТВВ-800.

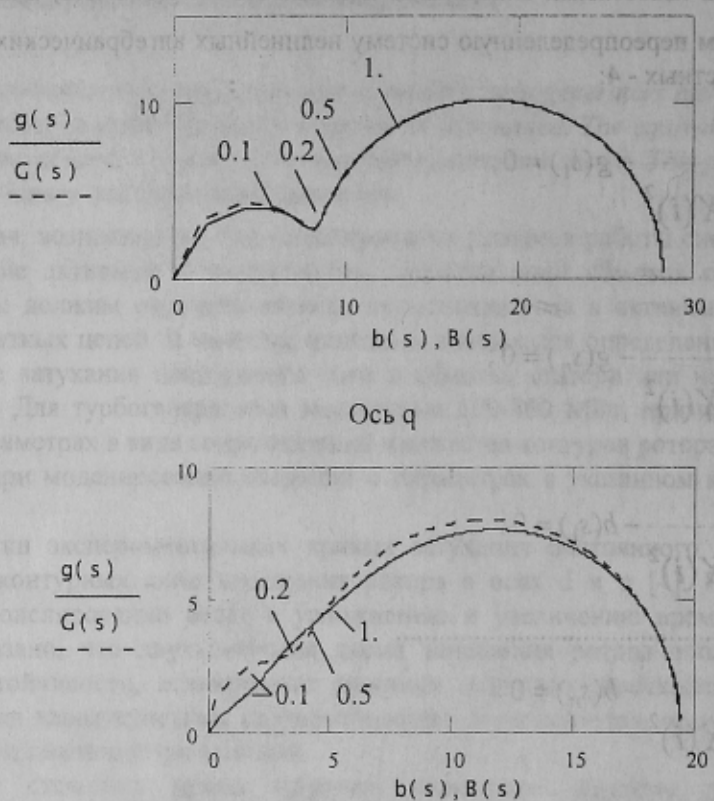


Рисунок 1 - Частотные характеристики ротора турбогенератора ТВВ-800

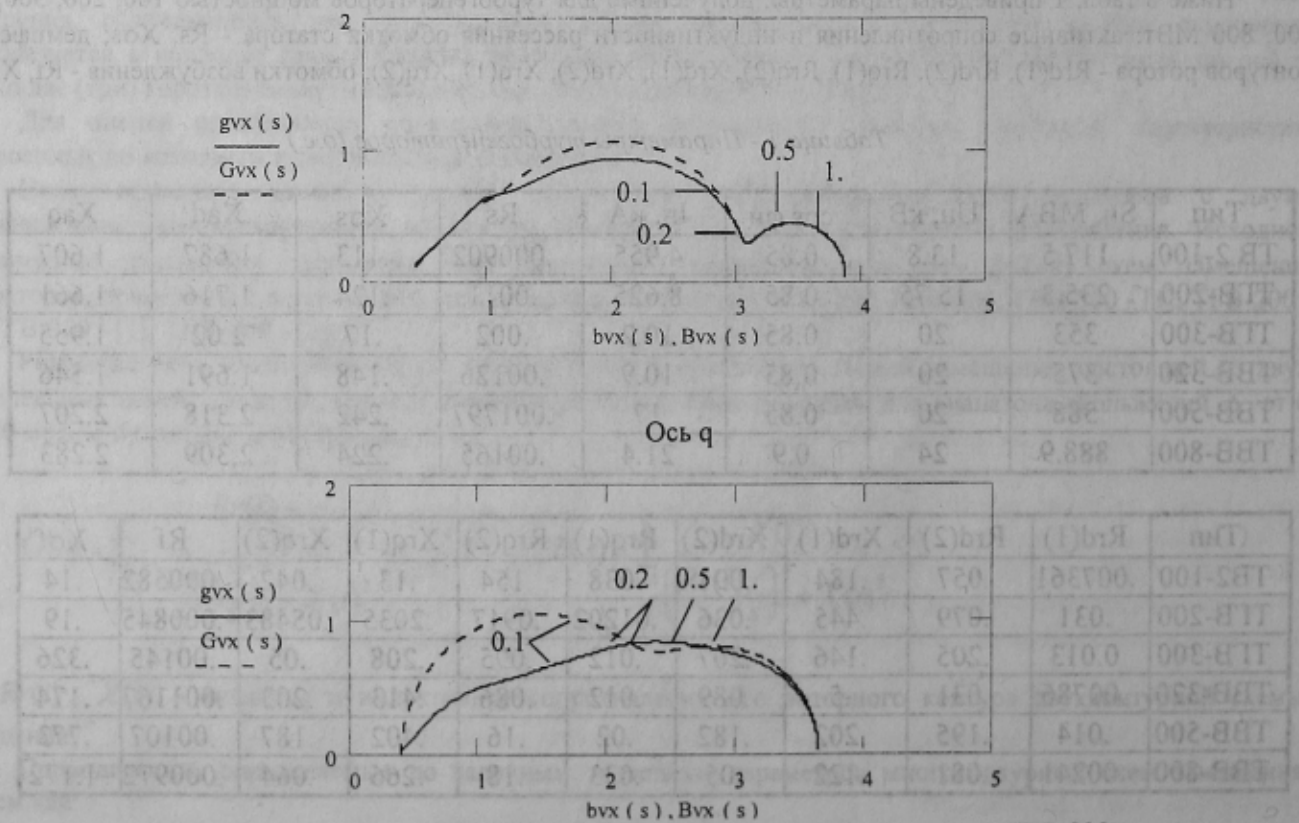


Рисунок 2 - Входные частотные характеристики турбогенератора ТВВ-800

В табл.2 приведены величины среднеквадратических отклонений активной и реактивной проводимостей роторов турбогенераторов по осям d и q , рассчитанных по двухконтурным схемам замещения, от рассчитанных по многоконтурным (исходным) схемам замещения в диапазоне скольжений от 0 до 100.

Таблица 2 - Отклонения расчетных проводимостей роторов турбогенераторов от исходных

Генератор		TB2-100				TGB-200				TGB-300			
Ось		d		q		d		q		d		q	
Проводимость		B	G	B	G	B	G	B	G	B	G	B	G
Среднеквадратическое		3.8	1.3	18.3	17.8	17.3	8.1	7.5	7.5	11	8.5	4.6	4.6
отклонение, %		3.8		17.5		17.1		7.2		10.9		4.4	

TBB-320				TBB-500				TBB-800			
d		q		d		q		d		q	
B	G	B	G	B	G	B	G	B	G	B	G
1.2	0.355	4	1.1	3.7	2.4	2.7	1.3	0.812	0.603	11.8	12.5
1.2		4		3.7		2.7		0.788		11.4	

Следует отметить, что для некоторых турбогенераторов при скольжениях от 0 до 0.1 отклонения характеристик роторов могут существенно превышать среднеквадратические. Отклонения же входных проводимостей, несмотря на это, гораздо меньше, чем роторных, и увеличение числа контуров на роторе не оказывает сильного влияния на входную частотную характеристику. Например, среднеквадратическое отклонение во всем диапазоне скольжений от 0 до 100 полных входных проводимостей при учете ротора турбогенератора TBB-800 двумя контурами по оси d составило 0.25%, а по оси q - 1.2%, в то время, как отклонение полных роторных проводимостей по оси d составило 0.788%, а по оси q - 11.4%.

Для повышения точности совпадения частотных характеристик, построенных по параметрам исходных многоконтурных и рассчитанных двухконтурных схем замещения роторов, можно использовать изложенную методику, приняв число контуров на роторе равным 3. Например, для турбогенератора TB2-100 среднеквадратическое отклонение полной роторной проводимости по оси q при этом составило 6.1%.

Выводы:

1. Изложена методика получения параметров схем замещения современных турбогенераторов с ограниченным числом (2-3) эквивалентных контуров на роторе по исходным частотным характеристикам.

2. Для применяемых в настоящее время в электрических системах турбогенераторов мощностью 100-800 МВт приведены параметры эквивалентных схем замещения, что позволяет использовать их при математическом моделировании стационарных и переходных режимов работы.

ЛИТЕРАТУРА

1. Казовский Е.Я., Рогозин Г.Г., Горин В.Я. Исследование частотных характеристик турбогенераторов. - Электротехника, 1975, № 1.
2. В.Я.Горин, Г.Г.Рогозин. Применение экспериментальных частотных характеристик к расчету параметров эквивалентных схем замещения крупных турбогенераторов. В сб. "Автоматизация и оптимизация режимов электрических систем и приводов". Донецк, 1971.
3. Лerner Л.Г., Сидельников А.В. Построение схем замещения электрических машин по заданным частотным характеристикам. - Электротехника, 1974, №11.
4. А.В.Сидельников О синтезе схем замещения электрических машин переменного тока по заданным частотным характеристикам. В сб. "Теория, расчет и исследование высокопримененных электрических машин", Наука, 1965.
5. Сивокобыленко В.Ф., Сопель В.Б., Павлюков В.А. Метод определения эквивалентных параметров машин переменного тока. - Изв. АН СССР. Энергетика и транспорт, 1975, № 2.